

Funding for this project was provided through the Strategic Investments in Northern Economic Development (SINED) program of Indian and Northern Affairs Canada and the Geomapping for Energy and Minerals (GEM) Program of the Earth Sciences Sector, Natural Resources Canada.

GSC OPEN FILE 6082 / DOSSIER PUBLIC 6082 DE LA CGG

YGS OPEN FILE 2009-2 / DOSSIER PUBLIC 2009-2 DE LA CGY

Data from this survey will serve as part of the Yukon Geological Survey and the GSC's contribution to the Edges Project of the GEM Program.

Le projet est financé par le programme des investissements stratégiques dans le développement économique du Nord (SINED) d'Affaires Indiennes et du Nord Canada et du programme Géocartographie de l'énergie et des minéraux (GEM) du Secteur des sciences de la Terre de Ressources naturelles Canada.

GEOPHYSICAL SERIES / SÉRIE DES CARTES GÉOPHYSIQUES

Parts of NTS / Parties des SNRC

115 J15, 115 K7, 115 K8, 115 K9, 115 K10

MEGATEM® II SURVEY, CENTRAL STEVENSON RIDGE AREA, YUKON

LEVÉ MEGATEM® II, RÉGION CENTRALE DE STEVENSON RIDGE, YUKON



APPARENT CONDUCTIVITY / CONDUCTIVITÉ APPARENTE

Scale 1:50 000 - Échelle 1/50 000

Projection géométrique: UTM, Zone 18N, Datum: NAD83, Unité: Mètre, Échelle: 1:50 000

Auteur: R. Dumont
L'acquisition, la compilation des données ainsi que la production des cartes furent effectuées par Fugro Airborne Surveys, Ottawa, Ontario. La gestion et la supervision du projet furent effectuées par la Commission géologique du Canada, Ottawa, Ontario et par la Commission géologique du Yukon, Whitehorse, Yukon.

DESCRIPTIVE NOTES

INTRODUCTION
This map was compiled from data acquired during an airborne electromagnetic survey carried out by FUGRO AIRBORNE SURVEYS using a MEGATEM® II time domain electromagnetic (EM) system. The system was mounted on a four engine De Havilland Dash 7 registration C-GJPI aircraft. The survey was carried out during the period from September 3 to September 23, 2008.

RESIDUAL MAGNETIC FIELD MAP
The magnetic data were corrected for diurnal variations, levelled to the control lines and interpolated onto a regular 100 metre grid, using the minimum curvature algorithm. The International Geomagnetic Reference Field (IGRF) was removed from the total magnetic field data using the model for the year 2005 extrapolated to 2008.7 and computed for a constant altitude of 819 metres.

APPARENT CONDUCTIVITY
The apparent conductivity values were derived from the full 20 channels (on-time and off-time) of the Zcoil data, fitted to a homogeneous half-space model. The algorithm first converts the response in every measurement window (on- or off-time) into an apparent conductivity. This is performed using a lookup table that contains the response over a range of half-space conductivities and apparent heights. The individual channel results are then averaged proportionally to their calculated skin depth.

EM DECAY CONSTANT
The decay constant values were obtained by fitting the amplitude data from the Zcoil channels 9 to 20 (approximately 231 to 2884 µs after turn-off) to an exponential function. In semi-log space, the slope of this function will reflect the decay rate of the transient field and therefore the strength of the conductivity. A slow rate of decay, reflecting a high conductivity, will be represented by a high decay constant value.

EM ANOMALIES
The quantitative interpretation of the MEGATEM® II data was accomplished by comparing the resultant EM responses with type-curves obtained from mathematical model studies. The channel amplitude ratios of a given response were mainly a function of the conductivity of the source. The response magnitude varies with conductor depth and geometry. The reference nomogram for the survey is based on the response of a vertical plate, represented by a thin sheet buried at a 600 metre depth extent, and with its upper edge located at ground surface. If the shape of a geological conductor differs significantly from a vertical plate, estimates will be inaccurate or in extreme situations, meaningless. Therefore, caution should be exercised when making recommendations for drilling or other follow-up activities based on quantitative interpretation of airborne EM data. Different results will be obtained using other models for quantitative interpretation.

THE MEGATEM® II SYSTEM responds to conductive overburden, near-surface horizontal conductive layers, man-made sources and bedrock conductors. Identification of natural responses is based on the rate of transient decay, magnetic correlation and response shape, together with the response pattern and topography. Man-made responses are identifiable by examining the power line monitor and the flight track video.

MEGATEM® II Frequency (Hz) 90
Peak Dipole Moment (Am²) 1.583 x 10⁴
Pulse Width (µs) 2251
Off Time (µs) 3272
Pulse Repetition (s⁻¹) 180

NOTES DESCRIPTIVES
Cette carte a été compilée à partir des données acquises pendant un levé électromagnétique-magnétique aérien effectué par FUGRO AIRBORNE SURVEYS en utilisant un système électromagnétique (EM) dans le domaine du temps. MEGATEM® II. Le système était installé dans un avion quadrimoteur modèle Dash 7 de Havilland (immatriculé C-GJPI).

L'espacement des traverses était de 400 m et celui des lignes de contrôle était de 1 000 m. L'arrondi a maintenu une élévation nominale de 100 m au-dessus du sol. La navigation fut effectuée au moyen d'un système GPS Novatel à 12 canaux, bidirectionnel, corrigé en temps par le système Chronotrak. Le plan de vol fut réalisé en effectuant les corrections de la station de base GPS après vol. Une caméra vidéo montée verticalement fut utilisée pour enregistrer des images de la surface. Si la forme des conducteurs n'est pas celle d'une plaque verticale, toutes ces estimations ne sont plus valides ou même sans aucune signification. Les estimations de la conductivité apparente et des constantes de temps de décaissement ne sont pas celles d'une plaque verticale, toutes ces estimations ne sont plus valides ou même sans aucune signification. Les estimations de la conductivité apparente et des constantes de temps de décaissement ne sont pas celles d'une plaque verticale, toutes ces estimations ne sont plus valides ou même sans aucune signification.

Le système EM transmet une impulsion utilisant une bobine horizontale centrée sur l'aéronef et mesure les réponses des conducteurs enfouis dans le sol au moyen d'un capteur à 3 composantes (X, Y, Z). Le capteur est tiré au bout d'un câble derrière l'aéronef. Le système EM enregistre l'information séparée en 20 canaux à une fréquence de 4 Hz pour chacune des trois composantes. Il mesure directement dBMT à partir duquel le champ magnétique secondaire S est intégré numériquement. Le système EM fut opéré à une fréquence de base de 90 Hz.

Les données magnétiques furent corrigées pour les variations diurnes, nivelées aux lignes de contrôle et interpolées selon une maille égale de 100 m de côté en utilisant l'algorithme de la courbure minimum. Le champ de référence géomagnétique international (IGRF) a été soustrait du champ magnétique total en utilisant le modèle de l'an 2005 extrapolé à 2008.7 et calculé à l'altitude constante de 819 m.

Les valeurs de la conductivité apparente sont calculées à partir des 20 canaux (pendant l'impulsion et le temps mort) de la composante en Z ajoutées à un modèle de demi-espace homogène. L'algorithme convertit d'abord la réponse de chacun des canaux (pendant l'impulsion et le temps mort) en une conductivité apparente. Ceci est fait à l'aide d'un tableau contenant les réponses pour une gamme de conductivité d'un demi-espace et de hauteurs aériennes. Les réponses individuelles des canaux sont ensuite moyennées proportionnellement à l'épaisseur de peau calculée pour chacun des canaux.

Les valeurs des constantes de temps furent ensuite interpolées sur une grille carrée de 100 m par l'algorithme d'interpolation d'Alam. La grille a été corrigée pour l'asymétrie du système afin de minimiser le décalage des réponses d'une ligne à l'autre, typique des réponses obtenues au-dessus des corps horizontaux, avec les systèmes électromagnétiques à canaux remorqués opérant dans le domaine du temps.

La dérivée première verticale du champ magnétique a été calculée par transformée rapide de Fourier sur une grille du champ magnétique total dont la maille était de 100 m de côté.

L'interprétation quantitative des données MEGATEM® II est faite en comparant les réponses EM avec des courbes types obtenues par modélisation mathématique. Les rapports d'amplitude des canaux sont principalement fonction de la conductivité de la source. L'amplitude de la réponse varie avec la profondeur et la géométrie du conducteur. Le nomogramme type pour ce levé est celui d'une plaque verticale de 600 m de longueur et de 300 m d'extension en profondeur affectant la surface. Si la forme des conducteurs n'est pas celle d'une plaque verticale, toutes ces estimations ne sont plus valides ou même sans aucune signification. Les estimations de la conductivité apparente et des constantes de temps de décaissement ne sont pas celles d'une plaque verticale, toutes ces estimations ne sont plus valides ou même sans aucune signification.

Le système MEGATEM® II répond aux monts terrains conducteurs, aux couches conductrices horizontales près de la surface, aux conducteurs anthropiques et aux conducteurs du socle rocheux. L'identification des conducteurs d'origine naturelle est basée sur le taux de décroissance des transitoires, des corrélations magnétiques et la forme de la réponse, conjointement avec le patron des réponses et la topographie. Les réponses causées par des conducteurs anthropiques sont identifiables par le moniteur de lignes de transmission et la bande vidéo de vol.

MEGATEM® II Frequency (Hz) 90
Moment max. du dipôle (Am²) 1.583 x 10⁴
Largeur de l'impulsion (µs) 2251
Temps mort (µs) 3272
Répétition l'impulsion (s⁻¹) 180

MEGATEM® II
Fréquence (Hz) 90
Moment max. du dipôle (Am²) 1.583 x 10⁴
Largeur de l'impulsion (µs) 2251
Temps mort (µs) 3272
Répétition l'impulsion (s⁻¹) 180

MEGATEM® II
Fréquence (Hz) 90
Moment max. du dipôle (Am²) 1.583 x 10⁴
Largeur de l'impulsion (µs) 2251
Temps mort (µs) 3272
Répétition l'impulsion (s⁻¹) 180

MEGATEM® II
Fréquence (Hz) 90
Moment max. du dipôle (Am²) 1.583 x 10⁴
Largeur de l'impulsion (µs) 2251
Temps mort (µs) 3272
Répétition l'impulsion (s⁻¹) 180

MEGATEM® II
Fréquence (Hz) 90
Moment max. du dipôle (Am²) 1.583 x 10⁴
Largeur de l'impulsion (µs) 2251
Temps mort (µs) 3272
Répétition l'impulsion (s⁻¹) 180

MEGATEM® II
Fréquence (Hz) 90
Moment max. du dipôle (Am²) 1.583 x 10⁴
Largeur de l'impulsion (µs) 2251
Temps mort (µs) 3272
Répétition l'impulsion (s⁻¹) 180

MEGATEM® II
Fréquence (Hz) 90
Moment max. du dipôle (Am²) 1.583 x 10⁴
Largeur de l'impulsion (µs) 2251
Temps mort (µs) 3272
Répétition l'impulsion (s⁻¹) 180

MEGATEM® II
Fréquence (Hz) 90
Moment max. du dipôle (Am²) 1.583 x 10⁴
Largeur de l'impulsion (µs) 2251
Temps mort (µs) 3272
Répétition l'impulsion (s⁻¹) 180

MEGATEM® II
Fréquence (Hz) 90
Moment max. du dipôle (Am²) 1.583 x 10⁴
Largeur de l'impulsion (µs) 2251
Temps mort (µs) 3272
Répétition l'impulsion (s⁻¹) 180

MEGATEM® II
Fréquence (Hz) 90
Moment max. du dipôle (Am²) 1.583 x 10⁴
Largeur de l'impulsion (µs) 2251
Temps mort (µs) 3272
Répétition l'impulsion (s⁻¹) 180

MEGATEM® II
Fréquence (Hz) 90
Moment max. du dipôle (Am²) 1.583 x 10⁴
Largeur de l'impulsion (µs) 2251
Temps mort (µs) 3272
Répétition l'impulsion (s⁻¹) 180

MEGATEM® II
Fréquence (Hz) 90
Moment max. du dipôle (Am²) 1.583 x 10⁴
Largeur de l'impulsion (µs) 2251
Temps mort (µs) 3272
Répétition l'impulsion (s⁻¹) 180

MEGATEM® II
Fréquence (Hz) 90
Moment max. du dipôle (Am²) 1.583 x 10⁴
Largeur de l'impulsion (µs) 2251
Temps mort (µs) 3272
Répétition l'impulsion (s⁻¹) 180

MEGATEM® II
Fréquence (Hz) 90
Moment max. du dipôle (Am²) 1.583 x 10⁴
Largeur de l'impulsion (µs) 2251
Temps mort (µs) 3272
Répétition l'impulsion (s⁻¹) 180

MEGATEM® II
Fréquence (Hz) 90
Moment max. du dipôle (Am²) 1.583 x 10⁴
Largeur de l'impulsion (µs) 2251
Temps mort (µs) 3272
Répétition l'impulsion (s⁻¹) 180

MEGATEM® II
Fréquence (Hz) 90
Moment max. du dipôle (Am²) 1.583 x 10⁴
Largeur de l'impulsion (µs) 2251
Temps mort (µs) 3272
Répétition l'impulsion (s⁻¹) 180

MEGATEM® II
Fréquence (Hz) 90
Moment max. du dipôle (Am²) 1.583 x 10⁴
Largeur de l'impulsion (µs) 2251
Temps mort (µs) 3272
Répétition l'impulsion (s⁻¹) 180

MEGATEM® II
Fréquence (Hz) 90
Moment max. du dipôle (Am²) 1.583 x 10⁴
Largeur de l'impulsion (µs) 2251
Temps mort (µs) 3272
Répétition l'impulsion (s⁻¹) 180

MEGATEM® II
Fréquence (Hz) 90
Moment max. du dipôle (Am²) 1.583 x 10⁴
Largeur de l'impulsion (µs) 2251
Temps mort (µs) 3272
Répétition l'impulsion (s⁻¹) 180

MEGATEM® II
Fréquence (Hz) 90
Moment max. du dipôle (Am²) 1.583 x 10⁴
Largeur de l'impulsion (µs) 2251
Temps mort (µs) 3272
Répétition l'impulsion (s⁻¹) 180

MEGATEM® II
Fréquence (Hz) 90
Moment max. du dipôle (Am²) 1.583 x 10⁴
Largeur de l'impulsion (µs) 2251
Temps mort (µs) 3272
Répétition l'impulsion (s⁻¹) 180

MEGATEM® II
Fréquence (Hz) 90
Moment max. du dipôle (Am²) 1.583 x 10⁴
Largeur de l'impulsion (µs) 2251
Temps mort (µs) 3272
Répétition l'impulsion (s⁻¹) 180

MEGATEM® II
Fréquence (Hz) 90
Moment max. du dipôle (Am²) 1.583 x 10⁴
Largeur de l'impulsion (µs) 2251
Temps mort (µs) 3272
Répétition l'impulsion (s⁻¹) 180

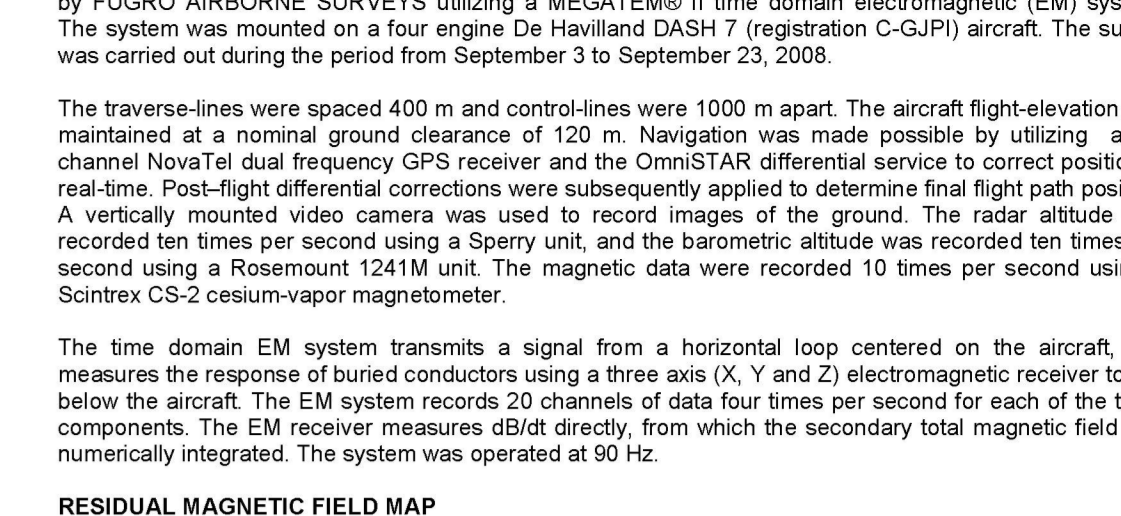
MEGATEM® II
Fréquence (Hz) 90
Moment max. du dipôle (Am²) 1.583 x 10⁴
Largeur de l'impulsion (µs) 2251
Temps mort (µs) 3272
Répétition l'impulsion (s⁻¹) 180

MEGATEM® II
Fréquence (Hz) 90
Moment max. du dipôle (Am²) 1.583 x 10⁴
Largeur de l'impulsion (µs) 2251
Temps mort (µs) 3272
Répétition l'impulsion (s⁻¹) 180

MEGATEM® II
Fréquence (Hz) 90
Moment max. du dipôle (Am²) 1.583 x 10⁴
Largeur de l'impulsion (µs) 2251
Temps mort (µs) 3272
Répétition l'impulsion (s⁻¹) 180

MEGATEM® II
Fréquence (Hz) 90
Moment max. du dipôle (Am²) 1.583 x 10⁴
Largeur de l'impulsion (µs) 2251
Temps mort (µs) 3272
Répétition l'impulsion (s⁻¹) 180

MAP SHEET SUMMARY / SOMMAIRE DES FEUILLETS



1 Residual Total Magnetic Field / Composante résiduelle du champ magnétique total

2 First Vertical Derivative of the Magnetic Field / Dérivée première verticale du champ magnétique

3 Apparent Conductivity / Conductivité apparente

4 Electromagnetic Decay Constant (tau-z) / Constante de temps électromagnétique (tau-z)

Recommended Citation: Dumont, R., 2009. Geophysical Series, parts of NTS 115 J15, 115 K7, 115 K8, 115 K9, 115 K10. MEGATEM® II Survey, Central Stevenson Ridge Area, Yukon. Geological Survey of Canada, Open File 6082. Scale 1:50 000.

Notation bibliographique conseillée: Dumont, R., 2009. Données géophysiques, parties des SNRC 115 J15, 115 K7, 115 K8, 115 K9, 115 K10. Levé MEGATEM® II, région centrale de Stevenson Ridge, Yukon. Commission géologique du Canada, Dossier public 6082. Échelle 1:50 000.

Notation bibliographique conseillée: Dumont, R., 2009. Données géophysiques, parties des SNRC 115 J15, 115 K7, 115 K8, 115 K9, 115 K10. Levé MEGATEM® II, région centrale de Stevenson Ridge, Yukon. Commission géologique du Canada, Dossier public 6082. Échelle 1:50 000.

Notation bibliographique conseillée: Dumont, R., 2009. Données géophysiques, parties des SNRC 115 J15, 115 K7, 115 K8, 115 K9, 115 K10. Levé MEGATEM® II, région centrale de Stevenson Ridge, Yukon. Commission géologique du Canada, Dossier public 6082. Échelle 1:50 000.

Notation bibliographique conseillée: Dumont, R., 2009. Données géophysiques, parties des SNRC 115 J15, 115 K7, 115 K8, 115 K9, 115 K10. Levé MEGATEM® II, région centrale de Stevenson Ridge, Yukon. Commission géologique du Canada, Dossier public 6082. Échelle 1:50 000.

Notation bibliographique conseillée: Dumont, R., 2009. Données géophysiques, parties des SNRC 115 J15, 115 K7, 115 K8, 115 K9, 115 K10. Levé MEGATEM® II, région centrale de Stevenson Ridge, Yukon. Commission géologique du Canada, Dossier public 6082. Échelle 1:50 000.

Notation bibliographique conseillée: Dumont, R., 2009. Données géophysiques, parties des SNRC 115 J15, 115 K7, 115 K8, 115 K9, 115 K10. Levé MEGATEM® II, région centrale de Stevenson Ridge, Yukon. Commission géologique du Canada, Dossier public 6082. Échelle 1:50 000.

Notation bibliographique conseillée: Dumont, R., 2009. Données géophysiques, parties des SNRC 115 J15, 115 K7, 115 K8, 115 K9, 115 K10. Levé MEGATEM® II, région centrale de Stevenson Ridge, Yukon. Commission géologique du Canada, Dossier public 6082. Échelle 1:50 000.

Notation bibliographique conseillée: Dumont, R., 2009. Données géophysiques, parties des SNRC 115 J15, 115 K7, 115 K8, 115 K9, 115 K10. Levé MEGATEM® II, région centrale de Stevenson Ridge, Yukon. Commission géologique du Canada, Dossier public 6082. Échelle 1:50 000.

Notation bibliographique conseillée: Dumont, R., 2009. Données géophysiques, parties des SNRC 115 J15, 115 K7, 115 K8, 115 K9, 115 K10. Levé MEGATEM® II, région centrale de Stevenson Ridge, Yukon. Commission géologique du Canada, Dossier public 6082. Échelle 1:50 000.

Notation bibliographique conseillée: Dumont, R., 2009. Données géophysiques, parties des SNRC 115 J15, 115 K7, 115 K8, 115 K9, 115 K10. Levé MEGATEM® II, région centrale de Stevenson Ridge, Yukon. Commission géologique du Canada, Dossier public 6082. Échelle 1:50 000.

Notation bibliographique conseillée: Dumont, R., 2009. Données géophysiques, parties des SNRC 115 J15, 115 K7, 115 K8, 115 K9, 115 K10. Levé MEGATEM® II, région centrale de Stevenson Ridge, Yukon. Commission géologique du Canada, Dossier public 6082. Échelle 1:50 000.

Notation bibliographique conseillée: Dumont, R., 2009. Données géophysiques, parties des SNRC 115 J15, 115 K7, 115 K8, 115 K9, 115 K10. Levé MEGATEM® II, région centrale de Stevenson Ridge, Yukon. Commission géologique du Canada, Dossier public 6082. Échelle 1:50 000.

Notation bibliographique conseillée: Dumont, R., 2009. Données géophysiques, parties des SNRC 115 J15, 115 K7, 115 K8, 115 K9, 115 K10. Levé MEGATEM® II, région centrale de Stevenson Ridge, Yukon. Commission géologique du Canada, Dossier public 6082. Échelle 1:50 000.

Notation bibliographique conseillée: Dumont, R., 2009. Données géophysiques, parties des SNRC 115 J15, 115 K7, 115 K8, 115 K9, 115 K10. Levé MEGATEM® II, région centrale de Stevenson Ridge, Yukon. Commission géologique du Canada, Dossier public 6082. Échelle 1:50 000.

Notation bibliographique conseillée: Dumont, R., 2009. Données géophysiques, parties des SNRC 115 J15, 115 K7, 115 K8, 115 K9, 115 K10. Levé MEGATEM® II, région centrale de Stevenson Ridge, Yukon. Commission géologique du Canada, Dossier public 6082. Échelle 1:50 000.

Notation bibliographique conseillée: Dumont, R., 2009. Données géophysiques, parties des SNRC 115 J15, 115 K7, 115 K8, 115 K9, 115 K10. Levé MEGATEM® II, région centrale de Stevenson Ridge, Yukon. Commission géologique du Canada, Dossier public 6082. Échelle 1:50 000.

Notation bibliographique conseillée: Dumont, R., 2009. Données géophysiques, parties des SNRC 115 J15, 115 K7, 115 K8, 115 K9, 115 K10. Levé MEGATEM® II, région centrale de Stevenson Ridge, Yukon. Commission géologique du Canada, Dossier public 6082. Échelle 1:50 000.

Notation bibliographique conseillée: Dumont, R., 2009. Données géophysiques, parties des SNRC 115 J15, 115 K7, 115 K8, 115 K9, 115 K10. Levé MEGATEM® II, région centrale de Stevenson Ridge, Yukon. Commission géologique du Canada, Dossier public 6082. Échelle 1:50 000.

Notation bibliographique conseillée: Dumont, R., 2009. Données géophysiques, parties des SNRC 115 J15, 115 K7, 115 K8, 115 K9, 115 K10. Levé MEGATEM® II, région centrale de Stevenson Ridge, Yukon. Commission géologique du Canada, Dossier public 6082. Échelle 1:50 000.

Notation bibliographique conseillée: Dumont, R., 2009. Données géophysiques, parties des SNRC 115 J15, 115 K7, 115 K8, 115 K9, 115 K10. Levé MEGATEM® II, région centrale de Stevenson Ridge, Yukon. Commission géologique du Canada, Dossier public 6082. Échelle 1:50 000.

Notation bibliographique conseillée: Dumont, R., 2009. Données géophysiques, parties des SNRC 115 J15, 115 K7, 115 K8, 115 K9, 115 K10. Levé MEGATEM® II, région centrale de Stevenson Ridge, Yukon. Commission géologique du Canada, Dossier public 6082. Échelle 1:50 000.

Notation bibliographique conseillée: Dumont, R., 2009. Données géophysiques, parties des SNRC 115 J15, 115 K7, 115 K8, 115 K9, 115 K10. Levé MEGATEM® II, région centrale de Stevenson Ridge, Yukon. Commission géologique du Canada, Dossier public 6082. Échelle 1:50 000.

Notation bibliographique conseillée: Dumont, R., 2009. Données géophysiques, parties des SNRC 115 J15, 115 K7, 115 K8, 115 K9, 115 K10. Levé MEGATEM® II, région centrale de Stevenson Ridge, Yukon. Commission géologique du Canada, Dossier public 6082. Échelle 1:50 000.

Notation bibliographique conseillée: Dumont, R., 2009. Données géophysiques, parties des SNRC 115 J15, 115 K7, 115 K8, 115 K9, 115 K10. Levé MEGATEM® II, région centrale de Stevenson Ridge, Yukon. Commission géologique du Canada, Dossier public 6082. Échelle 1:50 000.

Notation bibliographique conseillée: Dumont, R., 2009. Données géophysiques, parties des SNRC 115 J15, 115 K7, 115 K8, 115 K9, 115 K10. Levé MEGATEM® II, région centrale de Stevenson Ridge, Yukon. Commission géologique du Canada, Dossier public 6082. Échelle 1:50 000.

Notation bibliographique conseillée: Dumont, R., 2009. Données géophysiques, parties des SNRC 115 J15, 115 K7, 115 K8, 115 K9, 115 K10. Levé MEGATEM® II, région centrale de Stevenson Ridge, Yukon. Commission géologique du Canada, Dossier public 6082. Échelle 1:50 000.

Notation bibliographique conseillée: Dumont, R., 2009. Données géophysiques, parties des SNRC 115 J15, 115 K7, 115 K8, 115 K9, 115 K10. Levé MEGATEM® II, région centrale de Stevenson Ridge, Yukon. Commission géologique du Canada, Dossier public 6082. Échelle 1:50 000.

Notation bibliographique conseillée: Dumont, R., 2009. Données géophysiques, parties des SNRC 115 J15, 115 K7, 115 K8, 115 K9, 115 K10. Levé MEGATEM® II, région centrale de Stevenson Ridge, Yukon. Commission géologique du Canada, Dossier public 6082. Échelle 1:50 000.

Notation bibliographique conseillée: Dumont, R., 2009. Données géophysiques, parties des SNRC 115 J15, 115 K7, 115 K8, 115 K9, 115 K10. Levé MEGATEM® II, région centrale de Stevenson Ridge, Yukon. Commission géologique du Canada, Dossier public 6082. Échelle 1:50 000.

Notation bibliographique conseillée: Dumont, R., 2009. Données géophysiques, parties des SNRC 115 J15, 115 K7, 115 K8, 115 K9, 115 K10. Levé MEGATEM® II, région centrale de Stevenson Ridge, Yukon. Commission géologique du Canada, Dossier public 6082. Échelle 1:50 000.

Notation bibliographique conseillée: Dumont, R., 2009. Données géophysiques, parties des SNRC 115 J15, 115 K7, 115 K8, 115 K9, 115 K10. Levé MEGATEM® II, région centrale de Stevenson Ridge, Yukon. Commission géologique du Canada, Dossier public 6082. Échelle 1:50 000.

Notation bibliographique conseillée: Dumont, R., 2009. Données géophysiques, parties des SNRC 115 J15, 115 K7, 115 K8, 115 K9, 115 K10. Levé MEGATEM® II, région centrale de Stevenson Ridge, Yukon. Commission géologique du Canada, Dossier public 6082. Échelle 1:50 000.

Notation bibliographique conseillée: Dumont, R., 2009. Données géophysiques, parties des SNRC 115 J15, 115 K7, 115 K8, 115 K9, 115 K10. Lev